

原位生成 Ni 颗粒增韧纳米 ZrB₂ 基陶瓷的制备方法与微观结构研究

李斌¹, 韩森霖²

(1. 海军驻贵阳地区军事代表办事处 航空配套办公室, 贵阳 550009;

2. 航空工业贵阳安大宇航材料工程有限公司, 贵阳 550009)

摘要: 目的 提高 ZrB₂ 基防热陶瓷材料的韧性, 以满足其高抗热冲击性能的需求。方法 采用沉淀-共沉积法在纳米 ZrB₂ 粉体中原位生成 Ni 颗粒作为增韧相, 经放电等离子烧结后获得分布均匀的 Ni-ZrB₂ 纳米复合材料, 通过三点弯曲实验、断裂韧性实验以及硬度测试, 分别评价不同 Ni 含量对 Ni-ZrB₂ 纳米复合材料力学性能的影响, 并通过 SEM, XRD 对材料微观组织进行分析。结果 Ni 颗粒的引入, 可有效提高 ZrB₂ 的相对密度, 增加韧性, 同时强度和硬度有所提高。通过不同 Ni 含量的对比发现, ZrB₂-15%Ni 力学性能最优, 断裂韧性达到 $7.8 \pm 0.3 \text{ MPa} \cdot \text{m}^{1/2}$, 相对于原始 ZrB₂ 材料提升 1 倍。从微观组织的电子扫描照片也可以看出, Ni 颗粒在 ZrB₂ 表面均匀分布, 断口表现为穿晶断裂和延晶断裂的复合断裂模式, 不同于原始 ZrB₂ 材料的穿晶断裂。这也是断裂韧性显著提升的主要原因。结论 原位生成 Ni 颗粒的引入, 可有效提高 ZrB₂ 材料相对密度、强度、硬度以及断裂韧性。对比不同 Ni 含量的力学性能, ZrB₂-15%Ni 组分的力学性能最优, 这一方法可有效提高 ZrB₂ 材料的断裂韧性, 进一步满足其高抗热冲击性能的需求。

关键词: ZrB₂ 基陶瓷; 断裂韧性; Ni 颗粒增韧; 微观结构; 力学性能

DOI: 10.7643/issn.1672-9242.2017.09.007

中图分类号: TJ04; TB332 **文献标识码:** A

文章编号: 1672-9242(2017)09-0033-00

Preparation Method and Microstructure of In-situ Ni Particle Reinforced ZrB₂ Based Ceramics

LI Bin¹, HAN Sen-lin²

(1. Aviation Office of the Military Representative Office of the Navy Stationed in Guiyang, Guiyang 550009, China;

2. Aerospace Industry Guiyang AnDa Aerospace Materials Engineering Co., Ltd, Guiyang 550009, China)

ABSTRACT: Objective To improve the toughness of ZrB₂ based thermal protective ceramics to meet their high thermal shock resistance requirements. **Methods** The in-situ Ni particles were produced as reinforced phase through precipitation-codeposition on nano ZrB₂ powder. Ni-ZrB₂ nano composites with uniform distribution were obtained by spark plasma sintering. Effects of Ni content on mechanical properties of Ni-ZrB₂ nano composite materials were evaluated through three-point bending test, fracture toughness test and hardness test. And the microstructures of the material were characterized by SEM and XRD. **Results** Introduction of Ni particles, could effectively improve the relative density of ZrB₂, and increase its toughness, strength and hardness. By comparing the different content of Ni, it was suggested that ZrB₂-15%Ni had excellent mechanical properties. Its fracture toughness reached to $7.8 \pm 0.3 \text{ MPa} \cdot \text{m}^{1/2}$, increased by 1 times compared with the original ZrB₂ material. From the micro-

structure obtained through SEM, it can be seen that the Ni particles are uniformly distributed on the surface of ZrB₂, and the fracture was characterized by transgranular fracture and intergranular fracture, which was different from the transgranular fracture of the original ZrB₂ material. This was also the main reason for the remarkable increase of fracture toughness. Conclusion Introduction of in-situ Ni particles, can effectively improve the ZrB₂ material relative density, strength, hardness and fracture toughness. Compared with mechanical properties between different Ni contents, the ZrB₂-15%Ni components have the best mechanical properties. This method can effectively improve the fracture toughness of ZrB₂ materials and further meet the demand of the high thermal shock resistance.

KEY WORDS: ZrB₂-based ceramics; fracture toughness; Ni particle reinforced; microstructure; mechanical properties

近年来随着航空航天工业的发展,由于ZrB₂材料具有低密度(6.09 g/cm³)^[1-2]、高熔点(3245 °C)^[3]、高硬度(显微硬度约为22.1 GPa)、高导热性(热导率为23~25 W/(m·K))^[4]、导电性好(常温电导率为~1×10⁸ S/m)^[5]等特点,成为高超声速飞行器关键热端部位的候选材料,受到各发达国家的高度重视,成为迅速发展的超高温材料之一。各国学者通过大量研究,在材料的综合性能上取得了突破性进展,尤其是在抗氧化性能方面取得了显著的成就,美、日、法、中等国家相继成功研制出可用于1800 °C的ZrB₂-SiC超高温陶瓷材料^[6]。由于陶瓷材料的本征脆性,ZrB₂超高温陶瓷材料具有较低的断裂热性,抗热冲击性能较差等问题,这极大地限制了ZrB₂超高温陶瓷材料的广泛应用。以往的研究主要采用两种方式进行提高材料的韧性:细晶强化,减小原始粉末粒径至纳米量级,但结果表明在热压烧结过程中晶粒长大明显,与微米级粉末烧结后材料晶粒尺寸差异不大;颗粒增强,即添加第二相颗粒实现增韧,但从外部添加第二相容易造成增韧相分布不均,增韧效果不佳^[7-9]。

针对这些问题,文中采用纳米ZrB₂原始粉末,结合沉淀-共沉积法原位生成Ni颗粒增强相,解决颗粒增韧相分布不均的问题。在通过SPS快速烧结,减低烧结温度,缩短烧结时间,最大程度上抑制晶粒异常长大^[10],得到分布均匀的Ni-ZrB₂纳米复合材料,并讨论了Ni含量对复合材料微观组织和室温力学性能的影响。

1 试验

1.1 材料制备

为实现过渡族金属Ni在纳米ZrB₂粉表面均匀分布,采用沉积-沉淀法:将纳米ZrB₂粉加入含有适量Ni(NO₃)₂·6H₂O的去离子水溶液中,选用磁力搅拌器进行搅拌,同时缓慢滴加质量分数约为20%的NaOH水溶液直至Ni²⁺完全沉淀,化学反应方程式为:



上述溶液静置24 h后经过滤、清洗,直至pH值为7左右,得到Ni(OH)₂/ZrB₂二元胶体。将得到的

Ni(OH)₂/ZrB₂二元胶体放置于干燥箱中进行干燥,温度为80 °C,时间为4 h,干燥后进行研磨得到原始粉末。将该原始粉末置于气氛保护炉中,在N₂保护下400 °C煅烧2 h得到NiO/ZrB₂前驱体粉体。称取一定质量的催化剂前驱体NiO/ZrB₂放入管式炉的恒温区,并在N₂保护下升温至还原温度(600 °C),然后关闭N₂,通入H₂进行还原2 h得到Ni/ZrB₂复合粉末。

将通过沉积-沉淀法原位合成的ZrB₂-xNi(x为0,1.0%,3.0%,5.0%,10.0%,15.0%,20.0%)复合粉末在真空条件下进行放电等离子快速烧结,升温速率为100 °C/min,并加压30 MPa。升温到指定温度后(1400 °C)保温8 min,即得到烧结好的Ni-ZrB₂陶瓷。

1.2 性能测试及组织观察

1) 相对密度测试。相对密度为试样实际密度与理论密度的比值,其中实际密度采用阿基米德排水法测试,计算公式为:

$$\rho_{\text{实}} = \frac{m}{m - m_{\text{水}}} \rho_{\text{水}} \quad (2)$$

式中:m为试样在空气中的质量,g;m_水为试样在蒸馏水中的质量,g。

2) 力学性能测试。主要包括硬度、弯曲强度和断裂韧性测试。硬度实验采用HVS-5数显小负荷维氏硬度计进行测试,每一点的硬度值由式(3)计算^[11]:

$$Hv = \frac{2P}{d^2} \sin \frac{136^\circ}{2} \quad (3)$$

式中:P为加载载荷;d为压痕对角线长度的平均值。

测试试样表面经抛光处理,所用载荷为5 kg,保持时间为20~35 s。测试结果为6~10个点的平均硬度值。

复合材料的室温弯曲强度在Instron电子万能实验机上用三点弯曲法测定,试验所用试样尺寸为4 mm×3 mm×36 mm(宽×高×长),跨距为30 mm,压头速率0.5 mm/min。为了消除加工应力以及棱角处的应力集中对力学性能的影响,测试前需采用金刚石砂纸对试样进行抛光,同时还需要对四个棱角进行倒角,尺寸为(0.1~0.3) mm×45°,测试结果为6~10根试样的平均值。抗弯强度σ_b由式(4)计算得出^[12]:

$$\sigma_b = \frac{3P_f L}{2w^2 h} \quad (4)$$

式中: P_f 为试样断裂时的最大载荷, N; L 为跨距, mm; w 为试样的宽度, mm; h 为试样的高度, mm。

复合材料的室温断断裂韧性在 Instron 电子万能实验机上用单边切口梁法 (SENB) 测定, 试样尺寸为 2 mm×4 mm×22 mm(宽×高×长), 切口深度为 2 mm, 宽为 0.2 mm, 试样跨距为 16 mm, 压头速率 0.05 mm/min。测试结果为 6~8 根试样的平均值。断裂韧性 K_{IC} 由式 (5) 计算^[13]:

$$K_{IC} = Y \cdot \frac{3PL}{2wh^2} \sqrt{a} \quad (5)$$

式中: P 为试样断裂时最大载荷, N; L 为试样长度, mm; w 为试样宽度, mm; h 为试样高度, mm; a 为试样切口深度, mm; Y 为试样形状因子, 在 $0 \leq a/h \leq 0.6$, $L/h=4$ 范围内, 其数值由式 (6) 表示:

$$Y = 1.93 - 3.07\left(\frac{a}{h}\right) + 14.53\left(\frac{a}{h}\right)^2 - 25.11\left(\frac{a}{h}\right)^3 + 25.8\left(\frac{a}{h}\right)^4 \quad (6)$$

3) 微观组织分析。主要包括物相组成分析和显微组织特征。其中物相组成分析是在日本理学电机 (Rigaku)D/Max-rB 旋转阳极 X 射线衍射分析仪 (XRD) 上进行, 用来初步确定材料的主要成分。材料表面、断口的显微组织特征在飞利浦 FEI Sirion 扫描电镜 (SEM) 上进行测试。测试之前, 试样表面需先经 320#SiC 砂纸磨平, 再经 600#, 1000#SiC 砂纸抛光, 随后在酒精溶液中超声波清洗 10 min, 干燥后在 HF 和 HNO₃ 的混合溶液中进行腐蚀。腐蚀采用擦拭法, 擦拭次数为 15~20 次, 每次停留 1~2 s。

2 结果及分析

纯 ZrB₂ 纳米粉体的 SEM 如图 1 所示, 可以看出, ZrB₂ 颗粒表面光滑, 没有杂质颗粒存在。利用沉积-沉淀法原位合成 6 种不同 Ni 含量的 ZrB₂-Ni 复合材料如图 2 所示。当 Ni 含量较少时 (质量分数仅为 1%), 可以观察到 ZrB₂ 颗粒表面附着少量纳米 Ni 颗粒 (如图 2a 所示)。随着 Ni 含量的增加, 原位生成的 Ni 颗粒密度逐渐增加, 逐渐覆盖原始 ZrB₂ 颗粒 (表面分布的 Ni 小颗粒已包覆 ZrB₂ 基体, 如图 2b 所示)。当 Ni 的质量分数增加到 20% 时, 所生成的 Ni 颗粒已完全包裹 ZrB₂ 粉体。从图 2 可以看出, 与传统的粉末冶金方法不同, 原位生成的 Ni 颗粒均匀分布在 ZrB₂ 基体颗粒表面, 不存在局部团聚的现象。根据以往的研究可知, 第二相的分布状态将影响复合材料的最终性能。

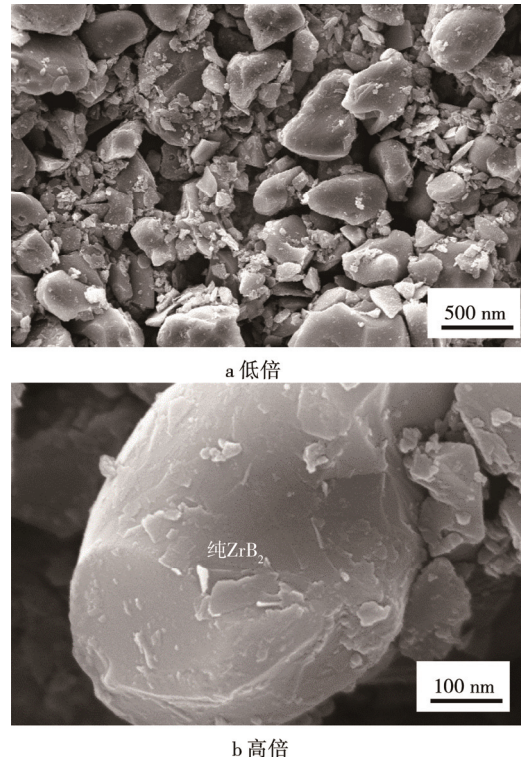
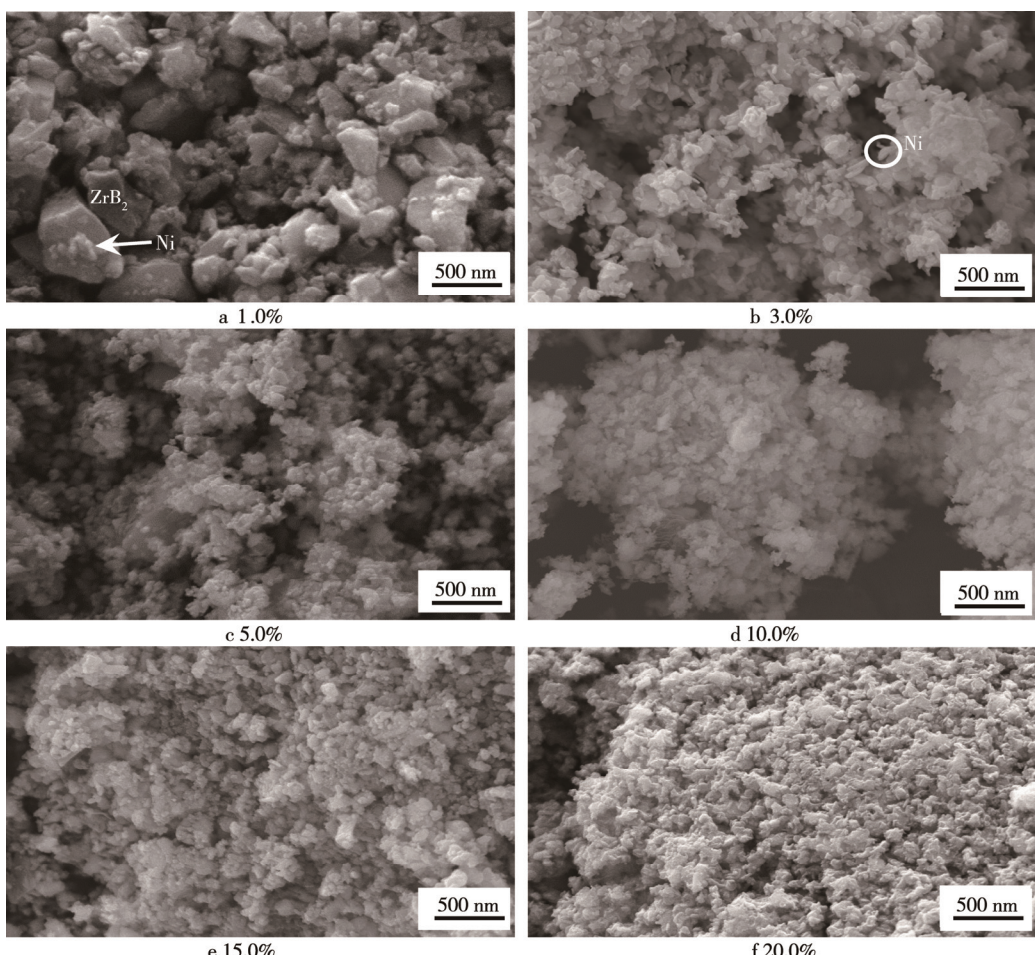
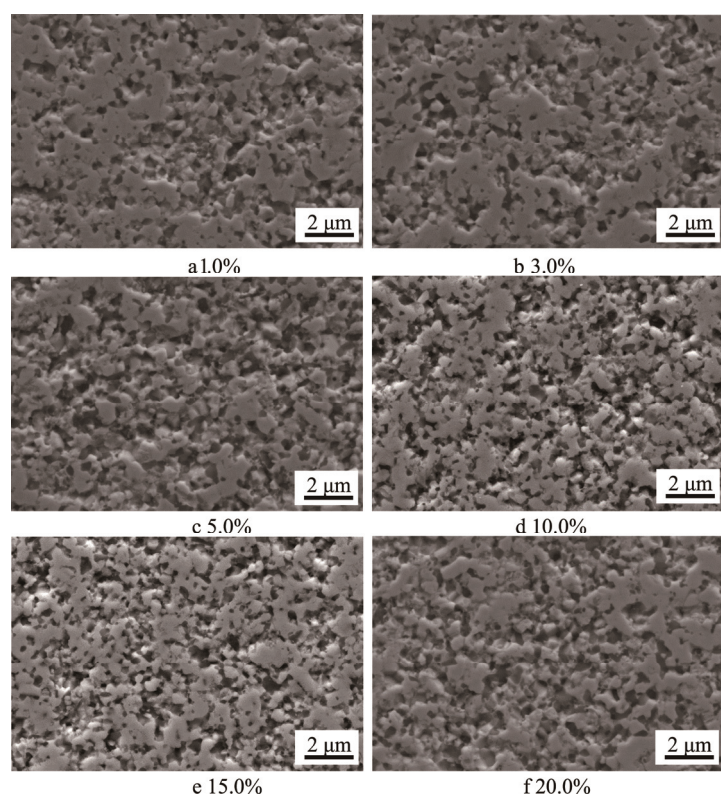
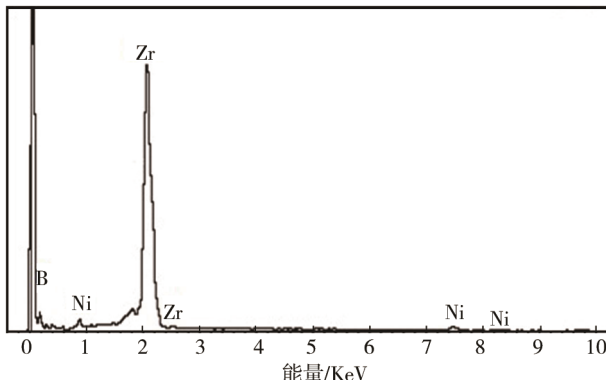


图 1 纯 ZrB₂ 纳米粉体 SEM 图

对不同 Ni 含量的 ZrB₂-Ni 的复合粉体进行 SPS 烧结, 得到不同 Ni 成分的 ZrB₂-Ni 复合材料, 其表面微观形貌如图 3 所示。在所有复合材料样品表面进行 EDS 能谱测试, 样品表面只存在 Zr, B, Ni 元素, 典型的 ZrB₂-15.0%Ni 复合材料表面的 EDS 能谱图如图 4 所示。对比纯 ZrB₂ 可以看出, 结合密度测量数据, 随着 Ni 含量的增加, 材料的致密度逐渐增加, 相对密度从 $78.6\% \pm 0.8\%$ 逐步提升至 $99.0\% \pm 0.3\%$ 。结果表明, Ni 颗粒的引入可有效提升材料的烧结致密度。同时, 从图 3 中可以看到, ZrB₂ 晶粒呈现减小的趋势, 当 Ni 的质量分数达到 15% 时, 平均晶粒尺寸达到最小, 约为 800 nm, 说明 Ni 颗粒的引入可有效阻止 ZrB₂ 晶粒长大。根据 Hall-Petch 关系 $\sigma = \sigma_0 + Kd^{-1/2}$ (σ_0 , K 是与晶体类型有关的常数) 可知, 晶粒大小与材料的强度成反比, 即晶粒的细化可有效提高材料的室温强度^[14]。当 Ni 含量继续增大, 晶粒尺寸居于平稳不再有所变化。这主要是由于当 Ni 含量过多时容易在 ZrB₂ 基体表面重复堆叠, 抑制颗粒增长的效果没有太大的变化, 但是过多的第二相 Ni 颗粒的存在必将造成对 ZrB₂ 基体性能的影响。

对 6 种不同 Ni 含量的 ZrB₂-Ni 复合材料进行力学性能测试, 实验结果见表 1。同时, 对比了纯 ZrB₂ 材料的性能, 从表征可以看出, Ni 颗粒的引入可有效提高材料的硬度, 其硬度从 (11.2 ± 0.5) GPa 提高至 (18.5 ± 0.4) GPa, 弯曲强度也提升至 (964 ± 48) MPa, 提升幅度接近 1 倍。这一宏观性能测试结果验

图 2 不同 Ni 含量的 ZrB_2/Ni 复合粉体 SEM 照片图 3 不同 ZrB_2 -Ni 复合材料表面的 SEM 照片

图 4 ZrB₂-15.0% Ni 复合材料表面的 EDS 能谱图表 1 ZrB₂-xNi 纳米复合材料的相对密度和力学性能

Material	Relative Density/%	Hardness /GPa	Flexural Strength /MPa	Fracture Toughness /(MPa·m ^{1/2})
ZrB ₂	78.6 ± 0.8	11.2 ± 0.5	502 ± 54	3.6 ± 0.3
ZrB ₂ -1.0%Ni	82.5 ± 0.6	14.6 ± 0.2	619 ± 60	4.8 ± 0.4
ZrB ₂ -3.0% Ni	87.2 ± 0.5	15.2 ± 0.4	686 ± 47	5.2 ± 0.3
ZrB ₂ -5.0% Ni	91.4 ± 0.3	15.7 ± 0.2	716 ± 38	5.9 ± 0.2
ZrB ₂ -10.0% Ni	96.5 ± 0.5	16.5 ± 0.3	829 ± 49	7.2 ± 0.4
ZrB ₂ -15.0% Ni	99.2 ± 0.4	18.5 ± 0.4	964 ± 48	7.8 ± 0.3
ZrB ₂ -20.0% Ni	99.0 ± 0.3	17.1 ± 0.2	910 ± 35	7.4 ± 0.2

证了表面微观组织分析的推论, Ni 颗粒的引入有效减小了材料晶粒尺寸, 进一步提升材料强度。此外, 材料的断裂韧性也从 (3.6±0.3) MPa·m^{1/2} 提高至 (7.8±0.3) MPa·m^{1/2}, 提高幅度达到 1 倍。

对比纯 ZrB₂ 和 ZrB₂-Ni 复合材料断口形貌(如图 5 所示)可以发现, 纯 ZrB₂ 断口主要为穿晶断裂, 有较多孔洞, 与致密度测量相符。随着 Ni 含量的增加, 致密度上升, 孔隙率降低。而 ZrB₂-15.0%Ni 复合材料的断口表现为穿晶断裂和延晶断裂的复合断裂模式, ZrB₂ 均匀地被 Ni 颗粒所包围。金属 Ni 在高温烧结过程中软化, 在外加压力作用下, 均匀包裹填充晶界。ZrB₂-15.0%Ni 复合材料表面裂纹扩展的 SEM 照片如图 6 所示, 可以看出, 裂纹扩展过程中出现明显的裂纹偏转机制。Ni 含量过多时, 容易产生 Ni 在高温下团聚的现象。相较于传统球磨法获得的 ZrB₂-Ni 复合材料, 传统的 Ni 容易团聚在晶界, 而采用原位合成的方法获得的 ZrB₂-Ni 复合材料, Ni 分散均匀。

图 7 对比了 SPS 烧结获得的纯 ZrB₂ 与原位合成的 ZrB₂-Ni 纳米复合材料 XRD 图。可以看出, 相较于纯 ZrB₂, ZrB₂-Ni 纳米复合材料里除了 ZrB₂ 和 Ni 物相外, 没有存在其他相。说明 Ni 与 ZrB₂ 基体之间没有发生反应, 界面结合力适当, 利于发挥增强增韧效果, 并且随着 Ni 含量的增加, Ni 的特征衍射峰强度呈现增加的趋势。主要表现为裂纹偏转机制^[15], 材

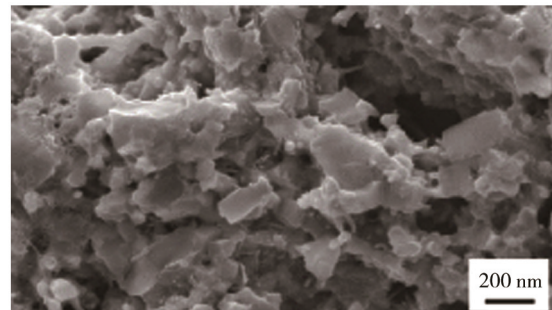
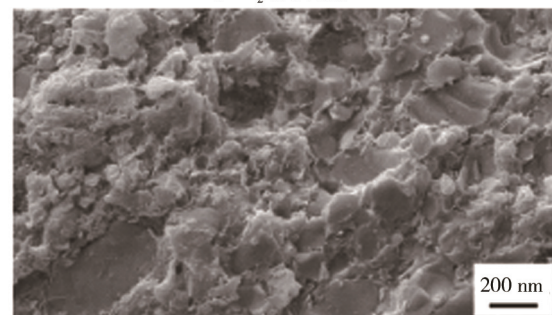
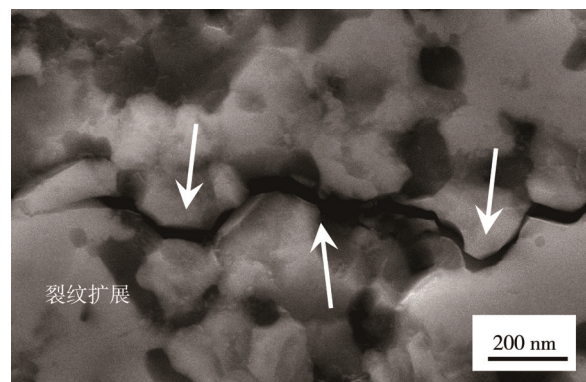
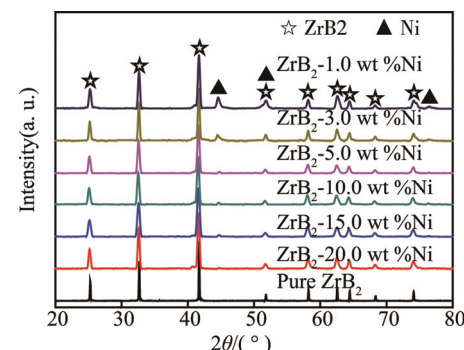
a 纯 ZrB₂ 纳米陶瓷b ZrB₂-15.0%Ni 复合材料

图 5 断口形貌的 SEM 照片

图 6 ZrB₂-15.0%Ni 复合材料表面裂纹扩展的 SEM 照片图 7 SPS 烧结获得的纯 ZrB₂ 和 ZrB₂-Ni 纳米复合材料的 XRD 对比

料受力裂纹萌生, 在扩展过程中遇到纳米 ZrB₂ 和 Ni 颗粒后会沿着晶界方向扩展, 偏离初始的扩展方向, 扩展路径由直线变成曲线, 进而增加裂纹扩展的表面

积,有利于消耗断裂能。Ni 颗粒分布越均匀,ZrB₂晶粒越细。从理论上来看,裂纹偏转次数越多,偏转的长度越大,能更大程度地消耗断裂能,有助于提高材料的韧性。

3 结论

1)采用沉淀-共沉积法在纳米 ZrB₂ 粉体原位生成了 Ni 颗粒增强相,并结合 SPS 烧结工艺制备出 ZrB₂-Ni 复合陶瓷材料。

2)Ni 颗粒增强相的引入,可有效提高材料力学性能,ZrB₂-15%的强度达到(964±48) MPa,断裂韧性提高至(7.8±0.3) MPa·m^{1/2}。相对于原始 ZrB₂ 材料提升近 1 倍,主要表现为裂纹偏转增韧机制。

3)Ni 颗粒增强相可有效阻止 ZrB₂ 晶粒的长大,达到细化晶粒的目的。此外,Ni 颗粒增强相还改变了 ZrB₂ 的断裂模式,从穿晶断裂变为穿晶-沿晶的混合断裂模式。

参考文献:

- [1] TALMY I G, ZAYKOSKI J A, MARTIN C A. Flexural Creep Deformation of ZrB₂/SiC Ceramics in Oxidizing Atmosphere[J]. Journal of American Ceramic Society, 2008, 91: 1441-1447.
- [2] WU W W, ZHANG G J, KAN Y M, et al. Reactive Hot Pressing of ZrB₂-SiC-ZrC Composites at 1600 °C[J]. Journal of American Ceramic Society, 2008, 91: 2501-2508.
- [3] MCRAE A E. Data Collected from Phase Diagrams for Ceramists[J]. Journal of American Ceramic Society, 1994, 73: 360-365.
- [4] ZHAO Y, WANG L J, ZHANG G J, et al. Effect of Holding Time and Pressure on Properties of ZrB₂-SiC Composite Fabricated by the Spark Plasma Sintering Reactive Synthesis Method[J]. International Journal of Refractory Metals and Hard Materials, 2009, 27: 177-180.
- [5] ZIMMERMANN J W, HILMAS G E, FAHRENHOLTZ W G, et al. Thermophysical Properties of ZrB₂ and ZrB₂-SiC Ceramics[J]. Journal of American Ceramic Society, 2008, 91: 1405-1411.
- [6] GUO S Q, NISHIMURA T, MIZUGUCHI T, et al. Mechanical Properties of Hot-Pressed ZrB₂-MoSi₂-SiC Composites[J]. Journal of European Ceramic Society, 2008, 28: 1891-1898.
- [7] LIN J, HUANG Y, ZHANG H A, et al. Densification and Properties of ZrO₂ Fiber Toughened ZrB₂-SiC Ceramics via Spark Plasma Sintering[J]. Materials Science & Engineering A, 2015, 644: 204-209.
- [8] LIN J, HUANG Y, ZHANG H A, YANG Y H, WU Y. Spark Plasma Sintering of ZrO₂ Fiber Toughened ZrB₂-based Ultra-high Temperature Ceramics[J]. Ceramics International, 2015, 41: 10336-10340.
- [9] JIN H, MENG S H, XIE W H, et al. ZrB₂-CNTs Nano-composites Fabricated by Spark Plasma Sintering[J]. Materials, 2016, 9: 967-976.
- [10] JIN H, MENG S H, XIE W H, et al. HfB₂-CNTs Composites with Enhanced Mechanical Properties Prepared by Spark Plasma Sintering[J]. Ceramic International, 2017, 43: 2170-2173.
- [11] SINGH J P, SATYAMURTHY K, THOMAS J R, et al. Analysis of Thermal Stress Resistance of Partially Absorbing Ceramic Plate Subjected to Asymmetric Radiation, II: Convective Cooling at Front Surface[J]. Journal of American Ceramic Society, 1981, 64: 169-171.
- [12] WISSUCHEK D J. Residual Stresses Due to Refractory Inclusions in Silica Glass[J]. Journal of Non-Crystalline Solids, 1998, 239: 203-209.
- [13] GRABINOVICH S F, NDRINOJ L E, BEAKE B D, et al. Impact of Annealing on Microstructure, Properties and Cutting Performance of an AlTiN Coating[J]. Surface and Coatings Technology, 2006, 201: 3524-3529.
- [14] 卢柯,刘学东,胡壮麒.纳米晶体材料的 Hall-Petch 关系[J].材料研究学报,1994,8(5): 385-391.
- [15] 林佳.3Y-ZrO₂纤维增韧ZrB₂基超高温陶瓷材料微观结构及性能研究.[D].哈尔滨:哈尔滨工业大学,2013.